

CO₂ 驱地面采输系统缓蚀阻垢剂优选研究

张 洲¹ 易勇刚² 同 航³ 张 新³ 曾德智³

1. 中国石油工程建设有限公司西南分公司, 四川 成都 610041;
2. 中国石油新疆油田分公司工程技术研究院, 新疆 克拉玛依 834000;
3. 油气藏地质及开发工程国家重点实验室·西南石油大学, 四川 成都 610500

摘要: CO₂ 驱提采技术因其诸多优点得到了广泛应用, 但同时也带来了严重的地面采输系统腐蚀结垢风险。为此, 分别采用电化学测试方法和静态阻垢法对油田常用的缓蚀剂和阻垢剂进行筛选, 对优选的缓蚀剂和阻垢剂进行配伍性和协同性测试后, 复配出效果优异的复合缓蚀阻垢剂, 最后采用失重法和模拟工况阻垢率测试评价复合缓蚀阻垢剂的综合防护性能。筛选出的缓蚀剂和阻垢剂在 55 °C、常压下, 饱和 CO₂ 的模拟地层水中对采输系统典型钢材 20 钢的缓蚀率达 93.06%, 阻垢率达 95.18%; 将筛选的缓蚀剂和阻垢剂复配后, 在模拟工况下, 复合缓蚀阻垢剂加量 500 mg/L 时 20 钢的腐蚀速率控制在 0.045 mm/a 以内, 阻垢性能满足油田控制指标。研究结果表明, 复配的复合缓蚀阻垢剂对 CO₂ 驱地面采输系统具有较好的防护作用, 能保证其安全运行和生产。

关键词: 采输系统; CO₂; 腐蚀结垢; 缓蚀阻垢剂

DOI:10. 3969 /j. issn. 1006-5539. 2021. 03. 014

Study on corrosion and scale inhibitor selection for surface production and transportation system of CO₂ flooding

ZHANG Zhou¹, YI Yonggang², TONG Hang³, ZHANG Xin³, ZENG Dezhi³

1. CPECC Southwest Company, Chengdu, Sichuan, 610041, China;
2. Engineering Research Institute of PetroChina Xinjiang Oilfield Branch, Karamay, Xinjiang, 834000, China;
3. State Key Laboratory of Oil and Gas Reservoir Geology and Exploitation, Southwest Petroleum University, Chengdu, Sichuan, 610500, China

Abstract: The EOR technology of CO₂ flooding is increasingly used because of its advantages, but it is also accompanied by the high risk of corrosion and scaling in the surface production and transportation system. As a result, this study was carried out using the electrochemical test method and the static scale inhibition method to evaluate and select corrosion and scale inhibitors commonly found in oil field. After the compatibility and synergy test of the corrosion and scale inhibitor, the most effective compound inhibitor was prepared. Finally, the comprehensive protection performance of the compound inhibitor was evaluated

收稿日期:2020-08-21

基金项目:国家自然科学基金项目“静载、振动与腐蚀作用下 H₂S/CO₂ 气井完井管柱螺纹密封面的力学损伤机制研究”(51774249)

作者简介:张 洲(1985-),女,四川华蓥人,工程师,学士,主要从事油气储运及项目管理工作。E-mail:zhangzhou_sw@cnpc.com.cn

by weight loss method and scale inhibition rate test under simulated condition. The experimental results showed that: the corrosion inhibition rate of the selected corrosion inhibitor and scale inhibitor in the simulated formation water of saturated CO₂ at 55 °C and atmospheric pressure is 93.06% and scale inhibition rate is 95.18% for the typical 20 steel used in the production and transportation system. After mixing together the selected corrosion inhibitor and scale inhibitor, the corrosion rate of the 20 steel is controlled within 0.045 mm/a when the amount of the composite corrosion and scale inhibitor is injected at 500 mg/L under the simulated condition. The scale inhibition rate is 93.91%, which can meet the performance indicators of oil field. The results showed that the compound corrosion and scale inhibitor can play a good role in protecting the production and transportation system of CO₂ flooding facilities, and guarantee the safe operation and production activities.

Keywords: Production and transportation system; Carbon dioxide; Corrosion and scaling; Corrosion and scale inhibitor

0 前言

近年来,CO₂驱提采技术日益成熟,因其成本低、提采效率高、环保等优点而应用广泛^[1-2]。但CO₂驱在明显提高原油采收率的同时,也给地面采输系统带来了严重的腐蚀结垢问题^[3-5],造成管道设备穿孔刺漏、堵塞等安全隐患,影响正常运行和生产^[6-14]。

化学药剂防护方法因用量小、防护效果好、适用性强等优点,成为解决腐蚀结垢问题的一种经济有效的防护措施^[15-16]。李玲杰等人^[17]开发出了一种环境友好的油田集输系统CO₂缓蚀剂并测试了其性能,结果表明该缓蚀剂对20钢在高Cl⁻含量、高矿化度CO₂腐蚀环境中具有良好的缓蚀效果;李军龙等人^[18]评价了合成的咪唑啉季铵盐对A3钢的缓蚀性能,结果表明咪唑啉季铵盐对A3钢具有很好的缓蚀作用;李晖等人^[19]完成了高温酸化复合缓蚀剂XAI-180的配方设计,结果表明形成的缓蚀剂具有良好的配伍性和缓蚀性;方曦等人^[20]制备出了阻垢剂PTA-AA,结果表明PTA-AA对CaCO₃和MgCO₃

具有较好的防垢性能;牟静等人^[21]合成了MA/AA/AM/AMPS四元共聚物阻垢剂,结果表明合成产物对CaCO₃和CaSO₄具有优良的阻垢性能。国内外学者对缓蚀剂和阻垢剂进行了大量的研究,而现场往往是腐蚀和结垢同时发生,且缓蚀剂和阻垢剂都具有较强的环境适应性,在某一区块运用效果良好的缓蚀阻垢剂到另一区块的使用效果可能不尽人意。为此,文章针对西部某油田CO₂驱地面采输系统腐蚀结垢问题,筛选并复配出了满足防腐、防垢要求的复合缓蚀阻垢剂。

1 实验部分

1.1 实验材料与设备

实验用金属材质为20钢和825耐蚀合金,其中电化学测试与模拟工况缓蚀性能评价均用集输管线常用材料20钢,而测试模拟工况阻垢性能时,为避免材质腐蚀对阻垢性能测试产生影响,选用825耐蚀合金进行测试,两种材质化学组分见表1;实验用液相介质为模拟西部某油田CO₂驱地层水溶液,主要离子含量见表2。

表1 20钢和825耐蚀合金的化学组分表

Tab. 1 Chemical composition of 20 steel and anti-corrosion alloy 825 materials

材质	化学组分							
	C	Si	Mn	Cr	Mo	Cu	Ni	Fe
20钢	0.20%	0.35%	0.50%	0.21%	—	0.24%	0.24%	余量
825耐蚀合金	0.05%	0.50%	—	20.25%	3.35%	2.25%	42.56%	31.04%

表2 模拟地层水离子含量表

Tab. 2 Ion content of simulated formation water

离子	浓度/(mg·L ⁻¹)
Cl ⁻	24 362.8
Ca ²⁺	820.0
Mg ²⁺	86.4
Na ⁺ /K ⁺	15 346.9

实验用缓蚀剂为CI-I、CI-II、CI-III、CI-IV、CI-V、CI-VI;阻垢剂为SI-I、SI-II、SI-III、SI-IV、SI-V。

实验用仪器包括电化学工作站、电子天平、高温高压釜等。

1.2 实验方法

针对西部某油田CO₂驱地面采输系统腐蚀结垢的具体工况,分别筛选出性能良好的缓蚀剂和阻垢剂,完

成配伍性试验后进行复配实验研究,形成最优配比的复合缓蚀阻垢剂并进行模拟工况下防护性能测试。

1.2.1 缓蚀剂和阻垢剂单剂筛选

1.2.1.1 缓蚀剂单剂筛选

实验采用 Corrtest CS350 电化学工作站,按标准 SY/T 5273—2013《油田采出水用缓蚀剂性能评价方法》(以下简称 SY/T 5273—2013)对缓蚀剂进行评价,实验条件为饱和 CO₂(约 0.005 6 mol/L)的模拟地层水溶液、温度 55 ℃、缓蚀剂浓度 200 mg/L。其中工作电极为 20 钢(有效暴露面积 0.785 4 cm²),辅助电极为 Pt 电极,参比电极为饱和甘汞电极。

工作电极的开路电位稳定后,极化曲线测试相对于开路电位 ±500 mV 扫描,扫描速率 0.50 mV/s。缓蚀率可由式(1)计算:

$$\eta_i = \frac{I_{0,\text{corr}} - I_{\text{corr}}}{I_{0,\text{corr}}} \times 100\% \quad (1)$$

式中: η_i 为缓蚀剂对 20 钢的缓蚀率; $I_{0,\text{corr}}$ 、 I_{corr} 分别为空白溶液和添加缓蚀剂溶液中 20 钢的自腐蚀电流密度,A/cm²。

1.2.1.2 阻垢剂单剂筛选

实验采用静态阻垢法,参照标准 GB/T 7476—2009《水质、钙的测定、EDTA 滴定法》(以下简称 GB/T 7476—2009 标准)测试阻垢剂对 CaCO₃ 的阻垢性能。阻垢剂对 CaCO₃ 的阻垢率可由式(2)计算:

$$x_i = \frac{\text{Ca}_0^{2+} - \text{Ca}_1^{2+}}{\text{Ca}_2^{2+} - \text{Ca}_1^{2+}} \times 100\% = \frac{V_0 - V_1}{V_2 - V_1} \times 100\% \quad (2)$$

式中: x_i 为阻垢剂对 CaCO₃ 的阻垢率;Ca₀²⁺、Ca₁²⁺、Ca₂²⁺ 分别为添加阻垢剂后的溶液与空白 1、2 溶液中 Ca²⁺ 浓度,mg/L; V_0 、 V_1 、 V_2 分别为滴定加阻垢剂后的溶液和空白 1、2 溶液中 Ca²⁺ 消耗 GB/T 7476—2009 标准溶液的体积,mL。

1.2.2 缓蚀阻垢剂复配

1.2.2.1 配伍性测试

实验参照标准 SY/T 5273—2013,将筛选出的缓蚀剂和阻垢剂按质量比 1:1 与模拟地层水混合均匀,在 55 ℃、常压条件下测定两种药剂与模拟地层水的配伍性。

1.2.2.2 协同性测试

两种或多种药剂同时使用与单独使用的防护效果有一定差异。为了研究加入其他药剂对该药剂性能的影响,采用电化学方法,在 55 ℃、常压条件下测试不同配比缓蚀阻垢剂和单一缓蚀剂在饱和 CO₂ 模拟地层水溶液中的缓蚀性能,明确阻垢剂对缓蚀剂缓蚀性能的影响;采用静态阻垢法,在 55 ℃、常压条件下测试不同配比缓蚀阻垢剂和单一阻垢的阻垢性能,明确缓蚀剂对阻垢剂阻垢性能的影响。

1.2.2.3 复合缓蚀阻垢剂最优配比实验

采用电化学方法和静态阻垢法,在 55 ℃、常压条件下测试不同配比的复合缓蚀阻垢剂的缓蚀阻垢性能。保持药剂总质量浓度 210 mg/L 不变,具体配比设计方案见表 3。

表 3 缓蚀阻垢剂复配实验设计表

Tab. 3 Experimental design of compound corrosion and scale inhibitors

方案	缓蚀剂 : 阻垢剂	缓蚀剂加量 / (mg · L ⁻¹)	阻垢剂加量 / (mg · L ⁻¹)
方案 1	4 : 1	168	42
方案 2	2 : 1	140	70
方案 3	4 : 3	120	90

1.2.3 模拟工况下防护效果测试

1.2.3.1 挂片失重测试

实验采用 30 mm × 15 mm × 3 mm 的长方体 20 钢试样,实验条件为温度 55 ℃、CO₂ 分压 1 MPa(总压 4 MPa)、模拟地层水溶液。参照标准 JB/T 6073—2015《金属覆盖层实验室全浸腐蚀试验》在静态高温高压釜中实验 72 h,试样的均匀腐蚀速率可按式(3)进行计算:

$$V_{\text{corr}} = \frac{8.76 \times 10^4 \times (m - m_t)}{S \times t \times \rho} \quad (3)$$

式中: V_{corr} 为均匀腐蚀速率,mm/a; m 、 m_t 分别为试样实验前、后的质量,g; S 为试样表面积,cm²; t 为实验时间,h; ρ 为试样材料的密度,g/cm³。

1.2.3.2 模拟工况阻垢率测试

为了使测试的阻垢率不受试样腐蚀的影响,实验采用 30 mm × 15 mm × 3 mm 的长方体 825 耐蚀合金试样,实验条件为温度 55 ℃、CO₂ 分压 1 MPa(总压 4 MPa)、模拟地层水溶液。在静态高温高压釜进行挂片实验 72 h,其阻垢率可由式(4)计算:

$$Y_i = \frac{\Delta m_0 - \Delta m_1}{\Delta m_0} \times 100\% \quad (4)$$

式中: Y_i 为阻垢剂的阻垢率; Δm_0 、 Δm_1 分别为试样在空白溶液和添加药剂溶液中的质量增加值,g。

2 结果与讨论

2.1 缓蚀剂与阻垢剂单剂筛选结果与分析

2.1.1 缓蚀剂单剂筛选结果与分析

在 55 ℃、常压条件下测试添加六种不同缓蚀剂和空白组饱和 CO₂ 模拟地层水溶液中 20 钢的极化曲线,采用 Tafel 外推法进行拟合,得到腐蚀电化学动力学参数,并通过式(1)计算缓蚀率,结果见表 4。

表4 20钢在含不同缓蚀剂的CO₂饱和模拟地层水溶液中的极化曲线拟合参数表

Tab. 4 Polarization curve fitting results of steel 20 in CO₂ saturated simulated formation water with different corrosion inhibitors

缓蚀剂种类	腐蚀电流密度 I_{corr} / (A · cm ⁻²)	腐蚀电位 E_{corr} /V	缓蚀率
空白	4.83E - 05	- 0.735	—
CI- I	9.27E - 06	- 0.692	80. 83%
CI- II	7.95E - 06	- 0.703	83. 55%
CI- III	9.86E - 06	- 0.649	79. 61%
CI- IV	4.80E - 06	- 0.651	90. 08%
CI- V	4.25E - 06	- 0.675	91. 22%
CI- VI	3.36E - 06	- 0.642	93. 06%

从表4可以看出,相对于空白组,加入缓蚀剂后自腐蚀电位正移,自腐蚀电流密度降低,说明加入缓蚀剂能很好地抑制20钢的腐蚀。其中缓蚀剂CI-IV、CI-V、CI-VI的缓蚀效果较好,缓蚀剂CI-VI效果最好(93.06%),因此选用缓蚀剂CI-VI作为复合缓蚀阻垢剂的缓蚀剂单剂。

2.1.2 阻垢剂单剂筛选结果与分析

在55℃、常压下测试五种不同阻垢剂对CaCO₃的阻垢性能,测得未加阻垢剂的空白组与加注30 mg/L阻垢剂的实验结果,见表5。

表5 阻垢剂静态阻垢实验结果表

Tab. 5 Results of static scale inhibition test of scale inhibitors

阻垢剂种类	Ca ²⁺ 浓度 / (mg · L ⁻¹)	阻垢率
空白 1	16	—
空白 2	99	—
SI- I	78	74. 70%
SI- II	82	79. 52%
SI- III	80	77. 11%
SI- IV	88	86. 75%
SI- V	95	95. 18%

从表5可以看出,SI-I、SI-II、SI-III三种阻垢剂在加量30 mg/L时阻垢效率较差,均低于80%,阻垢剂SI-V的阻垢率最大(95.18%),因此选用SI-V作为阻垢剂单剂。

2.2 缓蚀阻垢剂复配结果分析

2.2.1 配伍性测试结果

根据缓蚀剂和阻垢剂的性能评价结果,对筛选出的缓蚀剂CI-VI和阻垢剂SI-V进行配伍性实验,实验结果显示,恒温30 min及恒温24 h后混合溶液都呈均相,表明缓蚀剂CI-VI和阻垢剂SI-V与该区块地层水的配伍性良好。

2.2.2 协同性测试结果

2.2.2.1 阻垢剂对缓蚀剂性能影响

在55℃,常压条件下,测试添加不同配比药剂的饱

和CO₂模拟地层水溶液中20钢的极化曲线并用Tafel外推法进行拟合,得到腐蚀动力学参数,通过式(1)计算得到缓蚀速率,结果见表6。

表6 20钢在添加不同配比药剂的CO₂饱和模拟地层水溶液中的极化曲线拟合参数表

Tab. 6 Polarization curve fitting results of steel 20 in CO₂ saturated simulated formation water with different ratio of agents

药剂组成	药剂加量 / (mg · L ⁻¹)	腐蚀电流密度 I_{corr} / (A · cm ⁻²)	腐蚀电位 E_{corr} /V	缓蚀率
—	0	4.83E - 05	- 0.734 6	—
CI-VI	200	3.36E - 06	- 0.641 7	93. 06%
CI-VI + SI-V	180 + 20	3.33E - 06	- 0.639 0	93. 11%
CI-VI + SI-V	150 + 50	2.57E - 06	- 0.609 5	94. 69%
CI-VI + SI-V	120 + 80	3.26E - 06	- 0.620 0	93. 25%

从表6可以看出,将阻垢剂SI-V与缓蚀剂CI-VI复配后,不同配比下的缓蚀率较单剂缓蚀剂的缓蚀率都有所提高,当加入150 mg/L缓蚀剂CI-VI + 50 mg/L阻垢剂SI-V后缓蚀率高达94.69%,说明阻垢剂的加入对缓蚀剂的缓蚀性能有协同作用,使缓蚀效果变好。

2.2.2.2 缓蚀剂对阻垢剂性能影响

在55℃、常压条件下测试得单剂阻垢剂SI-V与缓蚀剂CI-VI以不同比例复配后的静态阻垢性能,结果见图1。

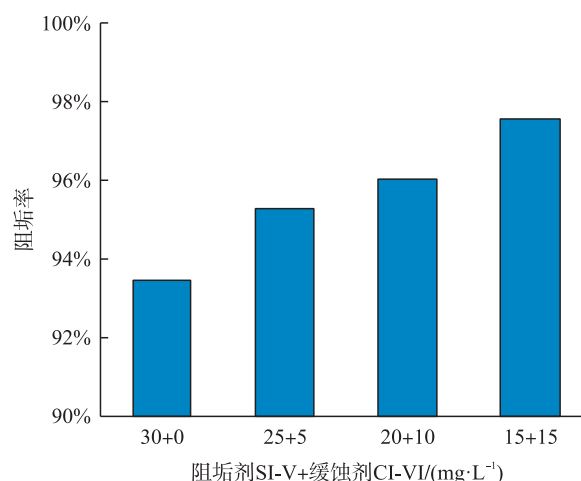


图1 复合缓蚀阻垢剂的阻垢协同效应图

Fig. 1 Synergistic effect of compound corrosion and scale inhibitors on scale inhibition

从图1可以看出,将缓蚀剂CI-VI与阻垢剂SI-V复配后,其阻垢率较单剂阻垢剂均有增加,尤其是将15 mg/L阻垢剂SI-V和15 mg/L缓蚀剂CI-VI混合使用时,阻垢率高达97.56%,说明缓蚀剂与阻垢剂有较好的协同作用,当两种药剂混合使用时效率较高。

2.2.3 缓蚀阻垢剂配比实验结果

在 55 ℃、常压条件下,测试加注不同比例的缓蚀阻垢剂和空白组的饱和 CO₂ 模拟地层水溶液中 20 钢的极化曲线见图 2,拟合参数见表 7。

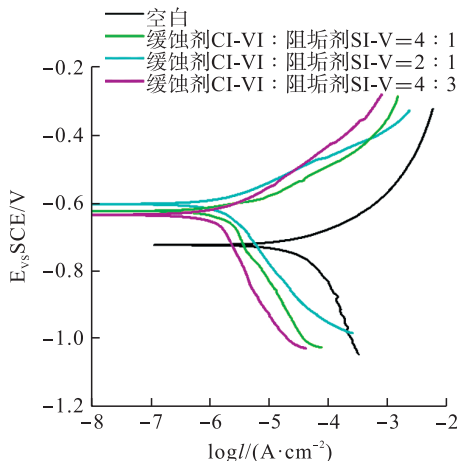


图 2 20 钢在含不同配比药剂的模拟地层水中的极化曲线图

Fig. 2 Polarization curve of steel 20 in simulated formation water solution containing different proportion of chemicals

表 7 极化曲线拟合参数表

Tab. 7 Polarization curve fitting results

缓蚀剂 CI-VI : 阻垢剂 SI-V	腐蚀电流密度 $I_{corr} / (A \cdot cm^{-2})$	腐蚀电位 E_{corr} / V	缓蚀率
—	4.83E -05	-0.734 6	—
4 : 1	3.22E -06	-0.624 3	93.35%
2 : 1	2.13E -06	-0.603 8	95.59%
4 : 3	3.42E -06	-0.634 8	92.93%

从图 2 和表 7 可以看出,当缓蚀剂 CI-VI : 阻垢剂 SI-V = 2 : 1 时,自腐蚀电位正移最多,自腐蚀电流密度最小,缓蚀率最高(95.59%),因此初步选定复合缓蚀阻垢剂的配比为 CI-VI : SI-V = 2 : 1。



a) 未添加复合缓蚀阻垢剂

a) No compound corrosion and scale inhibitor added

在 55 ℃、常压条件下对不同比例的复合缓蚀阻垢剂进行静态阻垢性能测试,得到不同比例下复合缓蚀阻垢剂的缓蚀率和阻垢率见表 8。

表 8 不同配比药剂试验结果表

Tab. 8 Test results of agents with different ratios

缓蚀剂 CI-VI : 阻垢剂 SI-V	缓蚀率	阻垢率
4 : 1	93.35%	78.43%
2 : 1	95.59%	93.56%
4 : 3	92.93%	94.49%

从表 8 可以看出,当缓蚀剂 CI-VI : 阻垢剂 SI-V = 2 : 1 时,缓蚀效率最高为 95.59%,此时阻垢率为 93.56%;当缓蚀剂 CI-VI : 阻垢剂 SI-V = 4 : 3 时,阻垢率最高为 94.49%,但此时缓蚀率只有 92.93%。现场实际工况中,CO₂ 腐蚀失效的风险较结垢堵塞的风险更大,综合考虑下,选用复合缓蚀阻垢剂的配比为 CI-VI : SI-V = 2 : 1。

2.3 模拟工况下防护效果测试结果分析

2.3.1 静态高温高压釜实验结果分析

2.3.1.1 失重实验结果

用 20 钢在 55 ℃、CO₂ 分压 1 MPa(总压 4 MPa)条件下的模拟地层水中进行 72 h 失重腐蚀实验,测得 20 钢在模拟地层水中的腐蚀速率为 1.618 mm/a,添加 500 mg/L 复合缓蚀阻垢剂后腐蚀速率为 0.041 mm/a,缓蚀率达 97.45%。

实验结果表明:加入复合缓蚀阻垢剂后,20 钢的腐蚀速率有很大程度的降低(0.045 mm/a 以下),说明该复合缓蚀阻垢剂对 20 钢的腐蚀有良好的抑制作用,能够满足生产需求。

2.3.1.2 腐蚀形貌分析

20 钢在 55 ℃、CO₂ 分压 1 MPa(总压 4 MPa)下进行 72 h 失重腐蚀实验后,去除腐蚀产物膜,宏观形貌见图 3。



b) 加注复合缓蚀阻垢剂

b) Compound corrosion and scale inhibitor is added

图 3 液相中 20 钢的腐蚀宏观形貌图

Fig. 3 Macroscopic corrosion morphology of steel 20 in liquid phase

从图3可以看出,模拟工况下未添加复合缓蚀阻垢剂时,20钢表面暗沉,腐蚀较严重,主要为均匀腐蚀;加注复合缓蚀阻垢剂后,表面有金属光泽,腐蚀程度明显减小。

2.3.2 模拟工况下阻垢试验结果分析

在55℃、CO₂分压1 MPa(总压4 MPa)条件下的模拟地层水溶液中测试复合缓蚀阻垢剂的阻垢性能,采用825耐蚀合金挂片试验72 h后,测得挂片在模拟地层水中的增重量为0.039 4 g,添加50 mg/L复合缓蚀阻垢剂后的增重量为0.002 4 g,阻垢率为93.91%。实验结果表明,该复合缓蚀阻垢剂的阻垢性能较好,能很好地控制CO₂采出井井筒中的结垢问题。

3 结论

1)形成了一套复合缓蚀阻垢剂评价方法流程,首先采用电化学方法和静态阻垢法分别筛选出性能良好的缓蚀剂和阻垢剂;其次对筛选的两种药剂进行配伍性和协同性测试,然后进行最佳配比实验,得到性能优异的复合药剂配方;最后进行模拟工况下复合药剂的综合防护性能测试,进一步明确所得药剂的实用性能,为油田评价和筛选多功效复合药剂提供了参考和指导。

2)明确了缓蚀剂和阻垢剂混合使用时的相互影响规律,将阻垢剂与缓蚀剂按不同比例复配后,复合药剂的缓蚀率和阻垢率较单一药剂的性能有所提高,说明缓蚀剂和阻垢剂对相互的防护性能具有较大促进作用,将两种药剂混合使用能起到更好的效果,充分利用药剂间的协同效应可提升药剂性能,减少用量,节约成本。

3)形成了一套适用于CO₂驱地面采输系统的防护药剂体系配方,在55℃、CO₂分压1 MPa(总压4 MPa)的模拟工况下,可将20钢的腐蚀速率控制在0.045 mm/a以内,阻垢率达93.91%,综合防护性能满足油田控制指标,说明该药剂体系能对CO₂腐蚀结垢起到较好的防护作用,为油田集输系统管道设备的防护提供了技术支撑。

参考文献:

- [1] 陆诗建,曹伟,孙岳涛,等.油田CO₂驱采出气中CO₂循环回收技术进展[J].天然气化工,2016,41(6):105-109.
LU Shijian, CAO Wei, SUN Yuetao, et al. Progress in CO₂ recycling technology for CO₂ flooding produced gas of oilfields [J]. Natural Gas Chemical Industry, 2016, 41 (6): 105-109.
- [2] 张绍辉,王凯,王玲,等.CO₂驱注采工艺的应用与发展[J].石油钻采工艺,2016,38(6):869-875.
- ZHANG Shaohui, WANG Kai, WANG Ling, et al. Development and application of CO₂ flooding [J]. Petroleum Drilling Production Technology, 2016, 38 (6): 869-875.
- [3] 石善志,董宝军,曾德智,等.CO₂辅助蒸汽驱对四种钢的腐蚀性能影响模拟[J].西南石油大学学报(自然科学版),2018,40(4):162-168.
SHI Shanzhi, DONG Baojun, ZENG Dezhi, et al. Simulation of the effect of corrosion performance of four types under CO₂-assisted steam flooding conditions [J]. Journal of Southwest Petroleum University (Science & Technology Edition), 2018, 40 (4): 162-168.
- [4] 田源,吴贵阳,曹军,等.材料在酸性气田服役中失效的分析评价技术[J].石油与天然气化工,2017,46(2):63-67.
TIAN Yuan, WU Guiyang, CAO Jun, et al. Evaluation techniques of material failure in sour gas field [J]. Chemical Engineering of Oil and Gas, 2017, 46 (2): 63-67.
- [5] 赵雪会,黄伟,张华礼,等.模拟油田CO₂驱采出环境下管柱腐蚀规律研究[J].表面技术,2019,48(5):1-8.
ZHAO Xuehui, HUANG Wei, ZHANG Huali, et al. Corrosion behavior of tubing string in CO₂ flooding environment of simulated oil field [J]. Surface Technology, 2019, 48 (5): 1-8.
- [6] 曾德智,同航,易勇刚,等.二氧化碳驱采油井缓蚀阻垢剂的复配实验研究[J].石油与天然气化工,2018,47(6):68-73.
ZENG Dezhi, TONG Hang, YI Yonggang, et al. Compounding experimental study on corrosion and scale inhibitor of CO₂ flooding well [J]. Chemical Engineering of Oil and Gas, 2018, 47 (6): 68-73.
- [7] 谷坛,唐德志,王竹,等.典型离子对碳钢CO₂腐蚀的影响[J].天然气工业,2019,39(7):106-112.
GU Tan, TANG Dezhi, WANG Zhu, et al. Effect of typical ions on the corrosion behavior of carbon steel in CO₂ environment [J]. Natural Gas Industry, 2019, 39 (7): 106-112.
- [8] LIU Hongwei, GU Tingyue, ZHANG Guoan, et al. Corrosion inhibition of carbon steel in CO₂-containing oilfield produced water in the presence of iron-oxidizing bacteria and inhibitors [J]. Corrosion Science, 2016, 105 (1): 149-160.
- [9] DONG Baojun, ZENG Dezhi, YU Zhiming, et al. Corrosion mechanism and applicability assessment of N80 and 9 Cr Steels in CO₂ Auxiliary Steam Drive [J]. Journal of Materials Engineering & Performance, 2019, 28 (1): 1030-1039.
- [10] YANG Xiaoxi, LI Wei, GUO Longjiang, et al. Prediction of CaCO₃ scaling in water injection wellbore [J]. Applied Thermal Engineering, 2016, 98 (1): 532-540.

- [11] 姚彬,郭玉洁,曾文广,等.塔河油田某注采井生产油管腐蚀失效分析[J].石油与天然气化工,2019,48(4):69-73.
YAO Bin, GUO Yujie, ZENG Wenguang, et al. Corrosion failure analysis of production tubing of an injection-production well in Tahe Oilfield [J]. Chemical Engineering of Oil and Gas, 2019, 48 (4) : 69-73.
- [12] 毛汀,杨航,石磊.威远页岩气田地面管线腐蚀原因分析[J].石油与天然气化工,2019,48(5):83-86.
MAO Ting, YANG Hang, SHI Lei. Analysis on corrosion of ground pipeline in Weiyuan shale gas field [J]. Chemical Engineering of Oil and Gas, 2019, 48 (5) : 83-86.
- [13] 赵海洋,叶帆,汤晟,等.某油井P110油管腐蚀穿孔原因[J].机械工程材料,2020,44(2):82-86.
ZHAO Haiyang, YE Fan, TANG Sheng, et al. Causes of corrosion and perforation of P110 tubing in an oil well [J]. Materials for Mechanical Engineering, 2020, 44 (2) : 82-86.
- [14] 赵海燕,丁艳艳,石善志,等.二氧化碳驱采出井缓蚀剂筛选与评价流程研究[J].石油与天然气化工,2018,47(1):83-88.
ZHAO Haiyan, DING Yanyan, SHI Shanzhi, et al. Study on screening and evaluation process of inhibitors for carbon dioxide flooding wells [J]. Chemical Engineering of Oil and Gas, 2018, 47 (1) : 83-88.
- [15] 袁青,刘音,毕研霞,等.油气田开发中CO₂腐蚀机理及防腐方法研究进展[J].天然气与石油,2015,33(2):78-81.
YUAN Qing, LIU Yin, BI Yanxia, et al. Research on CO₂ corrosion and corrosion control method in oil and gas field development [J]. Natural Gas and Petroleum, 2015, 33 (2) : 78-81.
- [16] 王颖,黄启玉,邓心茹,等.阿尔油田集输系统结垢机理与防治措施研究[J].天然气与石油,2017,35(1):54-59.
WANG Ying, HUANG Qiyu, DENG Xinru, et al. Study on mechanism and preventive measures of scaling for gathering and transporting system in Aer oilfield [J]. Natural Gas and Oil, 2017, 35 (1) : 54-59.
- [17] 李玲杰,韩文礼,张彦军,等.一种油田集输系统CO₂缓蚀剂的开发及其性能研究[C]//中国腐蚀与防护学会缓蚀剂专业委员会.第十九届全国缓蚀剂学术讨论会论文集.西安:中国腐蚀与防护学会缓蚀剂专业委员会,2016:4.
LI Lingjie, HAN Wenli, ZHANG Yanjun, et al. Study on the development and performance of a CO₂ corrosion inhibitor for oil field gathering and transportation system [C] // Corrosion and Protection Society of China Corrosion Inhibitor Committee. Proceedings of the 19th National Symposium on Corrosion Inhibitors. Xi'an: Corrosion Inhibitors Professional Committee of China Corrosion and Protection Society, 2016 : 4.
- [18] 李军龙,徐星,邹莉菲.咪唑啉缓蚀剂的合成及缓蚀性能研究[J].天然气与石油,2016,34(4):70-74.
LI Junlong, XU Xing, ZOU Lifei. Research on synthesis of imidazoline corrosion inhibitor and inhibition performance [J]. Natural Gas and Oil, 2016, 34 (4) : 70-74.
- [19] 李晖,罗斌,唐祖兵,等.新型耐高温酸化缓蚀剂XAI-180的研发与性能评价[J].天然气工业,2019,39(9):89-95.
LI Hui, LUO Bin, TANG Zubing, et al. Research, development and performance evaluation of XAI-180, a new acid corrosion inhibitor with high temperature resistance [J]. Natural Gas Industry, 2019, 39 (9) : 89-95.
- [20] 方曦,杨文.防垢剂PTA-AA的合成及性能评价研究[J].天然气与石油,2014,32(4):58-61.
FANG Xi, YANG Wen. Research on synthesizing scale inhibitor PTA-AA and its performance [J]. Natural Gas and Oil, 2014, 32 (4) : 58-61.
- [21] 牟静,李小瑞,费贵强,等.MA/AA/AM/AMPS四元共聚物的合成及其对硫酸钙和碳酸钙的阻垢性能[J].功能材料,2013,44(2):182-186.
MU Jing, LI Xiaorui, FEI Guiqiang, et al. MA /AA /AM /AMPS quadripolymer inhibitor for sulphate and carbonate scales [J]. Journal of Functional Materials, 2013, 44 (2) : 182-186.